

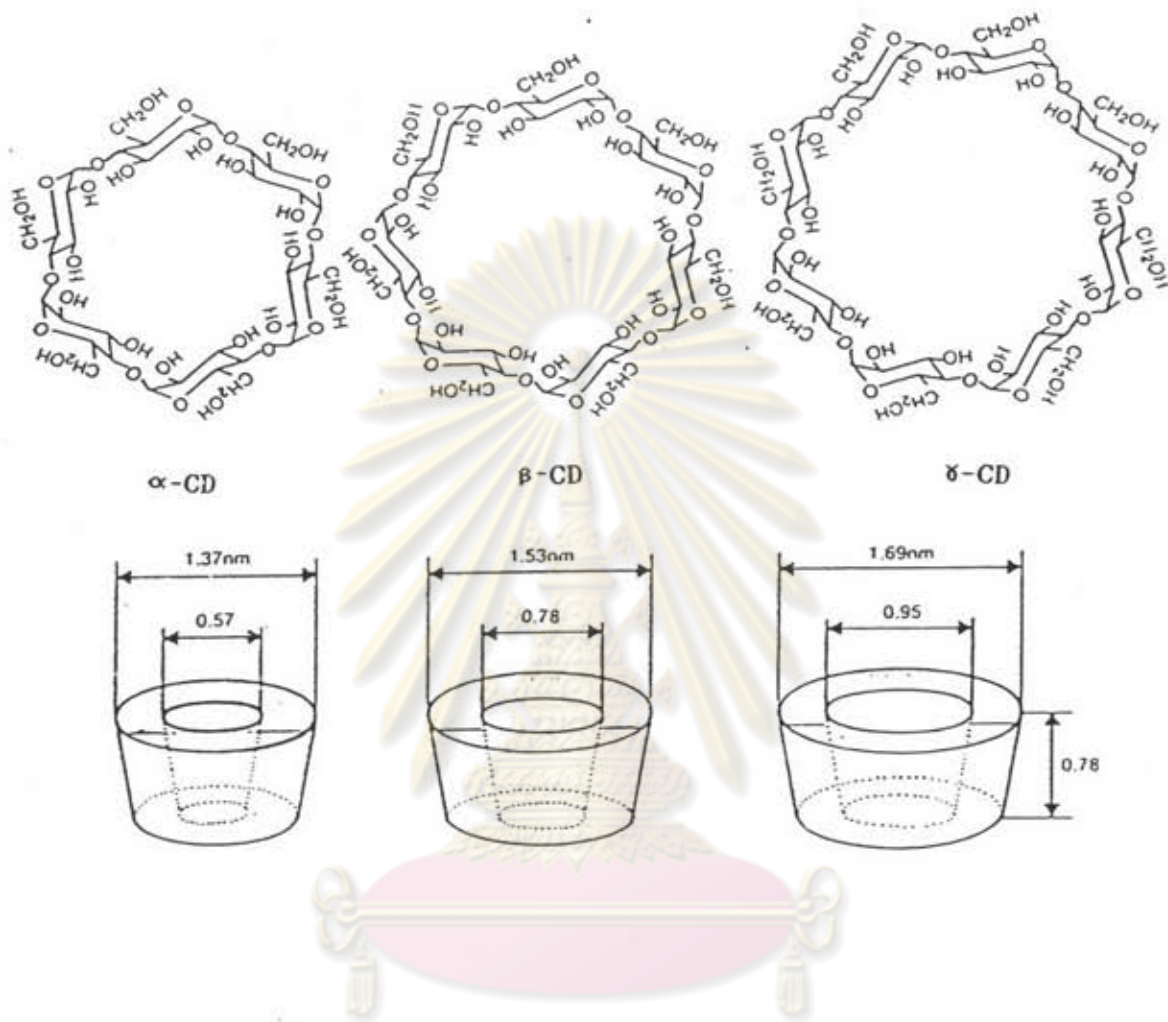
บทนำ



บทที่ 1

ไซคอลเดกซ์ทริน (Cyclodextrin : CD) เป็นสารประกอบคาร์บอไฮเดรตประเภท non-reducing oligosaccharides ที่ผลิตได้จากการนักแบ่งชนิดต่างๆ เช่น แบ่งมัน แบ่งข้าวโพด แบ่งข้าวเหนียว แบ่งสาลี เป็นต้น กับเชื้อริโนฟิล์บาร์นิด อย่างเช่น *Bacillus sp.* โดยผู้ค้นพบเป็นคนแรกคือ Villiers ในปี ค.ศ 1891 (Schmid, 1988) CDs ที่พบในธรรมชาติมี 3 ชนิดคือ  $\alpha$ -CD (Cyclohexa-amyllose)  $\beta$ -CD (Cycloheptaamyllose) และ  $\gamma$ -CD (Cyclooctaamyllose) ซึ่งประกอบด้วย กลูโคส 6, 7 และ 8 หน่วย ตามลำดับ มาเชื่อมต่อกันด้วยพันธะ  $\alpha$ -1,4 glycosidic เป็นรูปวงแหวนมีโพรงตรงกลาง (รูปที่ 1) จากการศึกษาโครงสร้างทางเคมี พบว่า บริเวณด้านนอกของวงแหวน CDs นั้นจะมีคุณสมบัติ hydrophilic เนื่องมาจากหมู่ไฮดรอกซิล (-OH) ของกลูโคส ทำให้ CDs สามารถละลายในน้ำ และสามารถละลายในกรดได้ ส่วนด้านในที่เป็นโพรงจะมีคุณสมบัติ hydrophobic อันเนื่องมาจากหมู่ C-H และหมู่ C-O-C ของกลูโคสจะหันเข้าสู่ด้านใน ไม่เลกูลของสารประกอบ hydrophobic ที่มีขนาดพอเหมาะกับโพรงของ CDs จึงสามารถจับกับ CDs ได้ด้วยพันธะไฮโดรเจน แรงงานเดอร์ วาลส์ (Van der Waals) และ hydrophobic interactions เกิดเป็น inclusion complexes (Bender, 1984) และทำให้คุณสมบัติทางเคมี และ/หรือทางกายภาพของสารนั้นเปลี่ยนไป จึงมีภารกิจ CDs มาประยุกต์ใช้ให้เกิดประโยชน์ในด้านต่างๆ มากมาย เช่น ช่วยป้องกันการเสียสภาพของสารต่างๆ จากการเกิดปฏิกิริยาออกซิเดชันกับแสง UV เพิ่มความสามารถในการละลายของสารประกอบประเภทไฮโดรฟิลิกในสารละลายโพลาร์หรือน้ำ ช่วยให้สารระเหยประเภทต่างๆ มีความเสถียรมากขึ้นในรูปของแข็ง ช่วยเปลี่ยนรูปของของเหลวไปเป็นผง (powderization) สามารถปรับปรุงกลิ่นและรสของอาหาร และเป็น antioxidants เป็นต้น จากคุณประโยชน์เหล่านี้ จึงมีผู้นำ CDs ไปใช้ในอุตสาหกรรมต่างๆ เช่น อุตสาหกรรมยา อาหาร เครื่องสำอาง การจัดน้ำเสียจากโรงงานอุตสาหกรรมและบ้านเรือน (Hashimoto และคณะ, 1988 ; Schmid, 1989) ดังแสดงในตารางที่ 1 และ 2

ในจำนวน CDs ทั้งสามชนิดที่เกิดขึ้นในธรรมชาติ พบว่า  $\beta$ -CD มีความเสถียรมากที่สุด เนื่องจากหมู่ไฮดรอกซิลของคาร์บอนตัวที่สองของกลูโคสแต่ละโมเลกุล สามารถสร้างพันธะไฮโดรเจนกับหมู่ไฮดรอกซิลของคาร์บอนตัวที่สามของกลูโคสที่อยู่ติดกันได้ เกิดเป็นลักษณะที่เรียกว่า



ศูนย์วิทยาศาสตร์พยาบาล  
จุฬาลงกรณ์มหาวิทยาลัย

รูปที่ 1 โครงสร้างไซโคลเดกซ์ทrinชนิด  $\alpha$ -  $\beta$ - และ  $\gamma$ - ตามลำดับ

**ตารางที่ 1 การนำผลิตภัณฑ์ของไฮคลอโรเกอร์ทินไปใช้ในอุตสาหกรรมประมวลต่างๆ ในประเทศญี่ปุ่น ในช่วงปี ค.ศ. 1984-1987 (Hashimoto, 1988)**

ปี	อุตสาหกรรม เกษตร (ตัน)	อุตสาห กรรมยา (ตัน)	เครื่อง สำอาง (ตัน)	อุตสาหกรรม ทั่วไป (ตัน)	อื่นๆ (ตัน)	รวม (ตัน)
1984	16	33	2	15	10	76
1985	35	18	2	41	13	109
1986	20	31	11	50	28	145
1987	17	18	10	35	19	99

ศูนย์วิทยทรัพยากร  
จุฬาลงกรณ์มหาวิทยาลัย

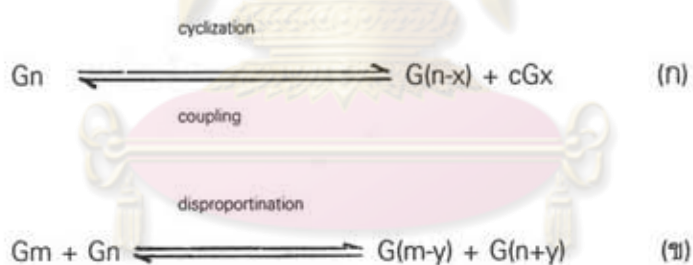
ตารางที่ 2 แสดงปริมาณการใช้ไฮคลเดกซ์ทินในตลาดโลก (Schmid, 1989)

Application	Market (ton year <sup>-1</sup> )	
	1989	1995
Pharmaceutics	50	2000
Food	700	2500
Cosmetics	50	500
Agriculture	10	100
Chemical industry	30	300
Other purpose	10	200

ศูนย์วิทยทรัพยากร  
จุฬาลงกรณ์มหาวิทยาลัย

ว่า secondary belt ของพันธะไฮโดรเจนทั้งจีดพันธะ ในขณะที่  $\alpha$ -CD จะมีโมเลกุลของกลูโคสหนึ่งหน่วยที่อยู่ในตำแหน่งบิดงอ (distorted position) ทำให้สามารถสร้างพันธะไฮโดรเจนระหว่างกลูโคสที่อยู่ติดกันได้เพียง 4 พันธะ จากทั้งหมดที่ควรจะเป็น 6 พันธะ ส่วนในกรณีของ  $\gamma$ -CD พบว่า ขนาดของโพรงที่ใหญ่ขึ้น ไม่เล็กของน้ำเข้าไปภายในโพรงได้มากขึ้น ทำให้มีความยืดหยุ่นเพิ่มขึ้น จากเหตุผลข้างต้นจะเห็นว่า  $\beta$ -CD มีความเสถียรมากที่สุด และยังเป็นเหตุผลที่ใช้อิบัยได้ว่า  $\beta$ -CD ละลายน้ำได้น้อยที่สุดในบรรดา CDs ทั้งสามชนิด (Szejtii, 1988)

การผลิต CD ในปัจจุบันจะผลิตโดยกระบวนการทางชีวภาพเป็นส่วนใหญ่ เป็นการผลิตโดยใช้เอนไซม์ไซค์โคลเดกซ์ทวิน กลูคานทรานส์เฟอเรส (cyclodextrin glucanotransferase ; CGTase :  $\alpha$ -1,4 - glucan-4-glycosyl-transferase ; E.C. 2.4.1.19) ซึ่งเป็นเอนไซม์ที่สามารถเปลี่ยนแปลงให้เป็น CDs CGTase แบ่งออกได้เป็น 3 ชนิด ตามชนิดของ CDs ที่ผลิตได้เป็นส่วนใหญ่ (โดยปกติเอนไซม์ CGTase สามารถผลิต CDs ได้ทั้ง  $\alpha$ -CD  $\beta$ -CD และ  $\gamma$ -CD) คือ  $\alpha$ -CGTase  $\beta$ -CGTase และ  $\gamma$ -CGTase จากการศึกษาโครงสร้างและบริเวณเร่งปฏิกิริยา (active site) ของเอนไซม์พบว่า CGTase สามารถทำงานได้ 3 แบบ คือ Cyclization Coupling และ Disproportionation (Bender, 1981) ดังแสดงในปฏิกิริยา ก. และ ข.



$G_m, G_n = \alpha$ -D-glucopyranosyl chains

$m, n, y = \alpha$ -D-glucosylpyranosyl residues

$cG_x = \text{cyclodextrin } (x = 6, 7 \text{ หรือ } 8)$

โดยที่ปฏิกิริยา cyclization จะเป็นปฏิกิริยาที่มีความสำคัญต่อการสังเคราะห์ CDs และจะเกิดได้ดีที่สุด เมื่อสับสเตรดเป็น oligosaccharide ที่มีกลูโคส 16-18 หน่วย แต่ถ้าหากว่าสับสเตรดมีความยาวมากกว่า 100 หน่วยขึ้นไป จะเป็นสับสเตรดที่ไม่ดีสำหรับการเกิดปฏิกิริยา cyclization ทั้งนี้น่าจะเป็นเพราะรูปร่างของสับสเตรดที่มีความยาวมากขึ้นจะมีรูปร่างเป็นเกลียว (Bender, 1985) ทำให้เปลี่ยนไปเกิดปฏิกิริยา disproportionation แทน เพื่อตัดสับสเตรดให้มีขนาดเล็กลงจนพอเหมาะสม

กับการเกิดปฏิกิริยา cyclization ให้สับสเตรทมีความยาวน้อยกว่า 14 หน่วย ก็จะไม่เกิดปฏิกิริยา cyclization แต่เอนไซม์จะเร่งปฏิกิริยา coupling เพื่อต่อสายกลูโคสให้ยาวขึ้น ให้เหมาะสมที่จะเกิดปฏิกิริยา cyclization และผลิตเป็น CDs ของมา (Szejtli, 1988) (ตารางที่ 3)

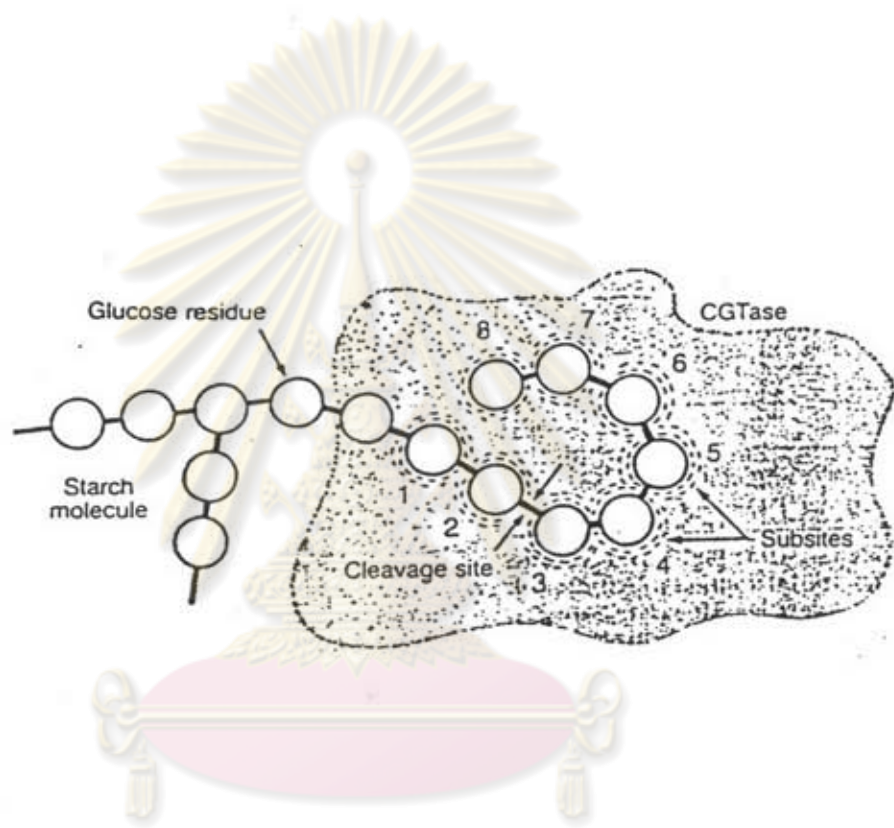
สำหรับกลไกในการเกิดปฏิกิริยา cyclization ของ  $\alpha$ -CGTase นั้น ในปี ค.ศ. 1988 Bender ได้เสนอว่า ในการเข้าทำปฏิกิริยา เอนไซม์ CGTase จะเข้าจับกับสับสเตรททางด้านปลาย non-reducing แบบ exo-attack กับกลูโคส 8-10 หน่วย (หรืออาจมากกว่านี้) ซึ่งบริเวณที่กลูโคสแต่ละหน่วยที่ถูกเอนไซม์เข้าทำปฏิกิริยาเรียกเป็นหนึ่ง subsite จากนั้นเอนไซม์จะตัดลูกโซ่ของสับสเตรทที่พันธะ  $\alpha$ -1,4 glycoside ระหว่าง subsite ที่ 2 และ 3 (รูปที่ 2) ได้ maltohexaose ของมาเป็นสารตัวกลาง (intermediate) โดยปลาย reducing จับกับ aspartyl group ของเอนไซม์ด้วยพันธะเอสเทอร์ (ester bond) ในขณะเดียวกันปลาย non-reducing ของ maltohexaose จะเข้ามาจับกับ subsite ที่ 2 แล้วสร้างพันธะ  $\alpha$ -1,4 glycoside ขึ้นระหว่างกลูโคสตัวที่ 1 และ 6 (ซึ่งคือตัวที่ 3 และ 8 ตามรูปที่ 2) ของ maltohexaose เกิดเป็น  $\alpha$ -CD ขึ้นมา เนื่องจาก active site ของเอนไซม์ไม่มีความจำเพาะอย่างสมบูรณ์ (absolute specificity) ต่อความยาวของลูกโซ่สับสเตรท ดังนั้นเอนไซม์  $\alpha$ -CGTase จึงสามารถให้ผลิตภัณฑ์เป็น  $\beta$ - และ  $\gamma$ -CD ได้ เช่นกัน (Bender, 1988 ; Schmid, 1989)

จากการศึกษาลำดับนิวคลีโอไทด์และลำดับกรดอะมิโนของเอนไซม์ CGTase พบร่วมกับ Horikoshi (1988) เมื่อเทียบกับเอนไซม์  $\alpha$ -amylase พบร่วมกับ  $\beta$ -CGTase และ  $\alpha$ -CGTase ที่มีความคล้ายคลึงกันมาก ที่สำคัญคือความคล้ายคลึงของชุดของกรดอะมิโนในเอนไซม์ CGTase หรือ  $\alpha$ -amylase (Hofmann และคณะ, 1989 ; Kimura และคณะ, 1989 ; Villette และคณะ, 1992) จากเหตุผลดังกล่าวทำให้เกิดสมมุติฐานว่าปลายด้านอะมิโนของเอนไซม์ CGTase เป็นส่วนที่เกี่ยวข้องกับการย่อยแป้ง (ตัดพันธะ  $\alpha$ -1,4 glycosidic) ซึ่งเหมือนกับเอนไซม์ที่สามารถย่อยแป้งตัวอื่นๆ ที่จะมีส่วนปลายอะมิโนทำหน้าที่ในการตัดไม่เลกูลของแป้งให้เล็กลง (Eichel-Streiber และคณะ, 1992 ; Itkov และคณะ, 1990) และปลายด้านคาร์บอไฮเดรตจะเป็นส่วนที่เกี่ยวข้องกับการจับยึดไม่เลกูลของแป้ง (raw starch binding site) และทำให้เกิดปฏิกิริยา cyclization (Kimura และคณะ, 1989)

ตารางที่ 3 สรุปความสัมพันธ์ระหว่างความยาวลูกโซ่ของสับสตเตอร์ดกับการเร่งปฏิกิริยาที่เกิดขึ้น  
ของเอนไซม์ CGTase (Szejtli, 1988)

Substrate chain lengths (residues)	Effects
1 (D-glucose)	-
2-4	-inhibit initial reaction of cyclization -substrate for coupling reaction
5-14	-good substrate for coupling reaction -poor substrate for disproportionation reaction
16-80	-good substrate for cyclization reaction
>100	-good substrate for disproportionation reaction

ศูนย์วิทยาศาสตร์  
จุฬาลงกรณ์มหาวิทยาลัย



ศูนย์วิทยทรัพยากร  
จุฬาลงกรณ์มหาวิทยาลัย

รูปที่ 2 แบบจำลองกลไกการทำงานของเอนไซม์  $\alpha$ -CGTase จาก *Bacillus oxytoca* M5a1  
(Bender, 1988)

เอนไซม์ CGTase เป็น inducible เอนไซม์ โดยมีแป้งเป็นตัวหนี่งน้ำ (inducer) แบบคทีเรียที่ผลิตเอนไซม์ส่วนใหญ่เป็นแบบคทีเรียในสายพันธุ์ *Bacillus* (Bender,1981 ; Schmid,1989) แบบคทีเรียแต่ละสายพันธุ์จะผลิต CDs ได้ทั้งสามชนิดในสัดส่วนที่แตกต่างกัน เช่น *Bacillus macerans*, alkalophilic *Bacillus* sp. No. 38-2 (ATCC21783) และ *Bacillus megaterium* จะให้  $\alpha$ - ,  $\beta$ - และ  $\gamma$ -CD ในอัตราส่วน 2.7:1.0:1.0 , 1.0:11.0:1.5 และ 1.0:2.4:1.0 ตามลำดับ (Horikoshi,1988 ;Szejli,1988) จึงแบ่งกลุ่มแบบคทีเรียออกเป็นสามกลุ่มตามชนิดของ CDs ที่แบบคทีเรียผลิตออกมานะเป็นส่วนใหญ่ คือ กลุ่ม  $\alpha$ -CGTase เช่น *Bacillus macerans* เป็นต้น กลุ่ม  $\beta$ -CGTase ได้แก่ *Bacillus megaterium* , Alkalophilic *Bacillus* sp. No.38-2 และ กลุ่ม  $\gamma$ -CGTase ได้แก่ *Bacillus subtilis* No.313 เป็นต้น (ดังแสดงในตารางที่ 5) นอกจากนี้เอนไซม์ CGTase ที่ผลิตได้จากแบบคทีเรียสายพันธุ์ต่างๆ จะมีคุณสมบัติทางกายภาพและชีวภาพแตกต่างกัน เช่น alkalophilic *Bacillus* sp. No.38-2 ซึ่งเป็นแบบคทีเรียสายพันธุ์หนึ่งที่ใช้ในอุตสาหกรรม สามารถผลิตเอนไซม์ที่มีช่วงการทำงานในช่วง pH ที่กว้างมาก คือ ทำงานได้ตั้งต่ำ pH 4.6 , 7.0 และ 8.5 ตามลำดับ ส่วน *Bacillus macerans* และ *Bacillus megaterium* จะผลิตเอนไซม์ที่ทำงานได้ตั้งต่ำ pH 5.0-5.7 (Horikoshi และคณะ,1981) คุณสมบัติต่างๆของเอนไซม์ CGTase จากแบบคทีเรียสายพันธุ์ต่างๆได้สรุปแสดงไว้ในตารางที่ 6

ในปัจจุบันได้มีการปรับปรุงประสิทธิภาพการผลิต CD ให้สูงขึ้น เพื่อลดต้นทุนการผลิต และให้เพียงพอต่อความต้องการทางอุตสาหกรรมในต้านต่างๆ โดยเฉพาะ อุตสาหกรรมอาหาร และยา มีวิธีหนึ่งที่มีศักยภาพสูงและนิยมทำกันมาก คือวิธีทางพันธุวิศวกรรม (genetic engineering) จะเห็นได้จากตารางที่ 7 ที่ได้รวมข้อมูลเกี่ยวกับการโคลนยีน CGTase จากแบบคทีเรียสายพันธุ์ต่างๆ เพื่อทำการศึกษาและเพิ่มประสิทธิภาพของการผลิต Binder (1986) และ Schmid (1989) ได้ทำการศึกษาว่ามีการนำเข้า  $\alpha$ -CGTase และ  $\beta$ -CGTase gene ที่ได้จาก *Klebsiella oxytoca* M5a1 และจาก alkalophilic *Bacillus* 1-1 มาต่อ กับ strong promoter แล้วส่งเข้าสู่เซลล์ของ *E. coli* ที่ถูกทำให้กลายพันธุ์ เพื่อให้ทราบฟอร์เมนท์ขั้นเบื้องต้นของเอนไซม์ CGTase ของนกอชเซลล์ แทนที่จะอยู่ที่ periplasmic space ผลปรากฏว่า ทราบฟอร์เมนท์สามารถผลิตเอนไซม์เพิ่มขึ้น 20-25 เท่า จากเดิม ในขณะเดียวกัน ก็ได้นำเข้า  $\alpha$ -CGTase และ  $\beta$ -CGTase gene เข้าไปปะயายใน *Bacillus subtilis* พบร่วมกับเอนไซม์  $\beta$ -CGTase เพิ่มขึ้นถึง 300 เท่า เมื่อเทียบกับ alkalophilic *Bacillus* 1-1 ดังแสดงในตารางที่ 8 (Schmid,1989)

Yamamoto และคณะ ได้ค้นพบ alkalophilic *Bacillus* sp. Strain No.38-2 (ATCC21783) ที่สามารถผลิตเอนไซม์  $\beta$ -CGTase (Nakamura และ Horikoshi,1976) ต่อมาในปี 1988 Kaneko

ตารางที่ 5 การแบ่งกลุ่มแบคทีเรียตามชนิดของ CGTase

แบคทีเรีย	
กลุ่ม α CGTase	<i>Klebsiella oxytoca</i> M5a1 <i>Bacillus macerans</i> <i>Bacillus stearothermophilus</i>
กลุ่ม β CGTase	<i>Bacillus circulans</i> <i>Bacillus megaterium</i> <i>Bacillus ohbensis</i> <i>Micrococcus</i> sp. <i>Alkalophilic Bacillus</i> 38-2 <i>Alkalophilic Bacillus</i> 17-1 <i>Aikalophilic Bacillus</i> 1011 <i>Alkalophilic Bacillus</i> 1-1
กลุ่ม γ CGTase	<i>Bacillus subtilis</i> No. 313 <i>Alkalophilic Bacillus</i> 290-3

ตารางที่ ๖ แสดงคุณสมบัติของเชื้อbacillus ที่ใช้ในการแยกเชื้อเรียกสายพันธุ์ต่างๆ (Szebill, 1988).

	Optimum pH	Optimum temp. °C	Mol. weight	Isoel. point	Stable pH	Stable temp. °C
<i>B. macerans</i> IFO 3490	5.0-5.7	55	650000	4.6	8.0-10.0	60
<i>B. macerans</i> IMA 1243	6.0	60	14500		5.5-9.5	50
<i>B. macerans</i> ATCC 8514	6.2		130300			
<i>B. macerans</i> CHINOIN	5.9	60	72000	4.45-4.65	5.0-8.0	60
<i>B. megaterium</i>	5.0-5.7	55	66000	6.07-6.80	7.0-10.0	55
<i>B. stearothermophilus</i>	5.0-5.5				5.5-8.8	70
<i>B. circulans</i>	6.0-6.5				7.5-9.0	60
<i>Klebsiella pneumoniae</i>	5.2				5.0-7.5	50
Alkalophilic <i>Bacillus</i> sp. No. 38-2	4.5-9.0	45-50	85-88000	5.4	6.0-10.0	65
Alkalophilic <i>Bacillus</i> sp. No. 17-1	5.0-9.0				6.5-10.0	
<i>B. ohbensis</i>		5.5				

ค่าวาระที่ 7 Molecular cloning ของยีน CGTase

แบบที่ใช้	ชนิดของ CGTase	เชลต์เจ้าเรือน	ชุด plasmid ที่สร้างได้	ชุด DNA insert (kb)	ORF (kb)	เอกสารอ้างอิง
<i>Klebsiella pneumoniae</i> M5a1	α	<i>E. coli</i>	pCM100	3.0	1.9	Binder และคณะ, 1986
<i>Bacillus macerans</i>	α	<i>B. brevis</i>	pHSB02 pHSB03	5.6	2.7	Takano และคณะ, 1992
<i>Bacillus circulans</i> Strain No.38-2	β	<i>E. coli</i>	pBC2	3.4	2.1	Nitchke และคณะ, 1990
Alkalophilic <i>Bacillus</i> sp. Strain No.38-2	β	<i>E. coli</i>	pCS8	5.3	3.0	Kaneko และคณะ, 1988
Alkalophilic <i>Bacillus</i> sp. Strain 1011	β	<i>E. coli</i>	pTUE217	5.3	2.5	Kimura และคณะ, 1989

ຄວາມຖີ່ 7 (ພະ)

ແປຕິໂຮບ	ອົບຕາຍ	ເນັດສັງເກົນ	ໜູ້ plasmid	ໜູ້ DNA insert	ORF *	ເອກສາງຫຼາຍ
			ກືສຳນັກໄຕ	(kb)	(kb)	
<i>Bacillus ohbensis</i>	β	<i>B. subtilis</i> CGTase	pUP110C <sub>8</sub> -CGT pUP110C <sub>8</sub> -CGT deg Q	4.8	2.1	Sin ແລະ ດາວ, 1992
Alkalophilic <i>Bacillus</i> sp. No.17-1	β	<i>E. coli</i>	pUCP1	5.5	2.9	Kanekohouse, 1989
<i>Bacillus circulans</i> var. alkalophilus ATCC 21783	β	<i>B. subtilis</i>	pALK153 pALK156 pALK159	5.3	3.0	Paloheimo ແລະ ດາວ, 1992
<i>Bacillus subtilis</i> No.313	γ	<i>E. coli</i>	pMT2	2.8	*	Kato ແລະ ດາວ, 1989

ORF \* = Open reading frame

ตารางที่ 8 เปรียบเทียบปริมาณของเอนไซม์ CGTase ที่ผลิตได้จาก wild-type คือ *Klebsiella oxytoca* ( $\alpha$ -CGTase) และ alkalophilic *Bacillus* 1-1 ( $\beta$ -CGTase) กับรีค็อกมิเนนท์โคลนที่ใช้ *E. coli* และ *B. subtilis* เป็นเชลล์เจ้าเรือน (Schmid, 1989)

Enzyme	Yield (mg protein/l fermentation broth)		
	Wild-type <i>Klebsiella oxytoca</i>	Recombinant <i>E. coli</i>	Recombinant <i>B. subtilis</i>
$\alpha$ -CGTase	18-20	400-500	800-1000
$\beta$ -CGTase	20-22	400-500	6000-7000



ศูนย์วิทยทรัพยากร  
จุฬาลงกรณ์มหาวิทยาลัย

และคณะ ได้โคลนยืน  $\beta$ -CGTase จาก *Bacillus* Strain No.38-2 นี้ Georganta และคณะ ได้ศึกษาต่อโดยการนำยืนไปตัดต่อกับ expression vector ที่มี tac promoter ส่งเข้าใน *E. coli* พบร่วมกับ CGTase มาก และเมื่อตัดต่อเข้ากับ shuttle vector จึงสามารถทราบสฟอร์มเข้าได้ทั้งใน *E. coli* และ *B. subtilis* พบร่วมกับ CGTase ใน *B. subtilis* น้อยกว่าเทียบกับเมื่อให้ *E. coli* เป็นเชลล์เจ้าเรือน และน้อยกว่าใน alkalophilic *Bacillus* No. 38-2 ปี ค.ศ. 1992 Paloheimo และคณะ ได้ทำการโคลน CGTase gene จาก *Bacillus* Strain No.38-2 ให้เข้าไปใน *Bacillus subtilis* โดยครั้งแรกได้ใช้พลาสมิด pUB110 ปรากฏว่าสามารถผลิตเอนไซม์เพิ่มขึ้นเพียง 1.2 เท่า จึงได้ทดลองตัดต่อส่วน promoter ของยืน  $\alpha$ -amylase จาก *B. amyloliquefaciens* มาใส่เข้ากับ CGTase gene พบร่วม บริมาณของเอนไซม์ CGTase เพิ่มขึ้นเป็น 14 เท่า เมื่อเลี้ยงในขวดเช่นเดียว และเพิ่มเป็น 33 เท่า เมื่อเลี้ยงในถังหมัก

งานวิจัยเกี่ยวกับ CGTase ของกลุ่มผู้วิจัยที่ภาควิชาชีวเคมี คณะวิทยาศาสตร์ จุฬาลงกรณ์มหาวิทยาลัย ได้เริ่มขึ้นในปี ค.ศ. 1987 Pongsawasdi และ Yagisawa จึงได้ทำการตรวจสอบหาสายพันธุ์แบคทีเรียที่ผลิตเอนไซม์ CGTase จากแบคทีเรียที่แยกจากดินในแถบເອເຊຍາແນຍ້ທັງໝາດ 14 สายพันธุ์ พบร่วม สายพันธุ์ *Bacillus* sp. A11 สามารถผลิตเอนไซม์ได้ในปริมาณสูงและให้ผลิตภัณฑ์ส่วนใหญ่เป็น  $\beta$ -CD โดยมี  $\alpha$ -CD ปนเล็กน้อย ต่อมา วัฒยา ได้ศึกษาการเจริญและ การผลิตเอนไซม์ CGTase ของ *Bacillus* sp. A11 ในอาหารเลี้ยงเชื้อที่มีแป้ง 1-5 กรัม เปอร์เซนต์ พบร่วม แป้งข้าวเจ้า แป้งข้าวโพด และ soluble starch หนึ่งยาน้ำให้สร้างเอนไซม์ CGTase ได้ดีกว่า แป้งข้าวเหนียว แป้งมันสำปะหลัง และแป้งข้าวสาลี pH และอุณหภูมิที่เหมาะสมต่อการทำางานของเอนไซม์ CGTase คือ 6.0 และ 40-50 °C ตามลำดับ และสามารถเพิ่มความเสถียรของเอนไซม์ โดยการเติมแคลเซียมคลอไรด์ 10 มิลลิโมลาร์ จากการทำเอสตีເອສໂພລືອະຄຣິລາໄມດໍຈົລ ອີເລັກໂທຣີ ພບວ່າ CGTase เป็นเอนไซม์ที่มีน้ำหนักโมเลกຸลประมาณ 72,000 ดาลตัน เมื่อวิเคราะห์สารໃໂຄລເດກົງທີ່ເປັນຜົດກັນທີ່ໂດຍວິທີ TLC (Thin Layer Chromatography) และ HPLC (High Performance Liquid Chromatography) ພບວ່າເປັນชนิด  $\beta$ -CD (ວັດຍາ 1991) ต่อมาสุรศักดิ์ (1994) ได้ทำการโคลนยืน CGTase จาก *Bacillus* sp. A11 โดยใช้พลาสมิด pUC18 และ pSE411 ใส่ในเชลล์เจ้าเรือน *E. coli* JM101 ตั้งชื่อดีເອັນເຊີກຜສນວ່າ pCSBC5 และ pCSBC8 ชັດດີເອັນເຊີ insert ขนาด 5.2 กิโลບັນດາ และในปี 1995 ສູພິຄຣາ ได้ทำการศึกษาແພນທີ່ເຮສທຽກຂັ້ນຂອງชັດດີເອັນເຊີ insert ใน pCSBC5 ພບວ່າມີແພນທີ່ເຮສທຽກຂັ້ນ ແນ້ມອນໃນ pCSBC8 ແຕ່ມີທີ່ຄທກງທຽບຮ່າມກັນ ທັງຍັງໄຟສາມາດตรวจพบແອຄຕິວິດີຂອງ CGTase ໃນທຽບສຳພົນທີ່ CSBC5 ໄດ້ ພບແຕ່ dextrinizing activity ຈຶ່ງເປັນແອຄຕິວິດີອ່າຍ່າງໜຶ່ງຂອງ CGTase ຈຶ່ງໄດ້ທຳການຫາຂ່າງດີເອັນເຊີ insert ໃນ pCSBC5 ທີ່ມີ

dextrinizing activity โดยการตัดช่วงดีเอ็นเอ insert ใน pCSBC5 ออกมา 5 บริเวณ แล้วทำการโคลนใส่ดีเอ็นเอพานะของ *E. coli* คือ pUC118 ให้ดีเอ็นเอลูกผสม 5 โคลน ด้วยกันคือ pCSBC9 10 11 12 และ 13 เมื่อนำทรายฟอร์แมนท์ของดีเอ็นเอลูกผสมมาทดสอบหา dextrinizing activity เพียบกับทรายฟอร์แมนท์ CSBC5 พบว่า ทรายฟอร์แมนท์ CSBC12 ที่มีช่วงดีเอ็นเอ insert ของ pCSBC5 ที่ตำแหน่ง EcoRI ถึง NdeI ขนาดประมาณ 1.7 กิโลเบส (ดังรูปที่ 3) มี dextrinizing activity ใกล้เคียงกับทรายฟอร์แมนท์ CSBC5

งานวิจัยนี้เป็นงานที่ต่อเนื่องมาจากงานของสุพิศรา โดยได้แบ่งขอบเขตของการศึกษายืน CGTase ออกเป็น 2 ส่วน ในส่วนแรกจะเป็นการหาลำดับเบส (nucleotide sequence) ของยีน CGTase ที่อยู่ในพลาสมิด pCSBC8 โดยอาศัยข้อมูลจากการวิจัยของสุพิศราที่ได้นำตำแหน่งของยีน CGTase ในพลาสมิด pCSBC5 แม้ว่าจะพบเพียงบางส่วนของยีนก็ตาม และจากรายงานเกี่ยวกับยีน CGTase ในแบคทีเรียสายพันธุ์ต่างๆ ที่พบว่า ยีน CGTase มีขนาดประมาณ 2.0-3.0 กิโลเบส ดังแสดงในตารางที่ 7 ในการหาลำดับเบสนี้ จะทำให้ทราบถึงตำแหน่งของ promoter start codon , open reading frame , stop codon และ amino acid sequence เพื่อนำไปเปรียบเทียบความคล้ายคลึงกับยีน CGTase ของแบคทีเรียสายพันธุ์อื่นได้ ในส่วนที่สองนั้นจะเป็นการนำเขายืน  $\alpha$ -CGTase จากแบคทีเรียพันธุ์อื่นมาใช้เป็นดีเอ็นเอติดตาม ยีน CGTase ใน *Bacillus* sp. A11 เพื่อศึกษาความเป็นไปได้ที่จะยืนยันว่า pCSBC5 หรือ pCSBC8 เป็น CGTase clone หรือไม่ นอกจากนั้นยังนำมาใช้เพื่อเป็นประโยชน์ในการ clone ยีน CGTase ที่สมบูรณ์จาก *Bacillus* sp. A11 อีกด้วย ทั้งนี้ เพราะ  $\beta$ -CGTase จะมีความคล้ายคลึง(Homology) กับ  $\alpha$ -CGTase ที่ระดับ nucleotide sequence 64% และที่ระดับ amino acid sequence 63% (Horikoshi, 1988) ซึ่งข้อมูลเหล่านี้จะเป็นข้อมูลพื้นฐานในการศึกษายืน CGTase จาก *Bacillus* sp. A11 ต่อไปภายหน้า ไม่ว่าจะเป็นด้านการปรับปรุงผลผลิตด้วยเทคนิคพันธุ์วิศวกรรมหรือปรัตน์วิศวกรรม

## จุฬาลงกรณ์มหาวิทยาลัย

